

ارزیابی پایداری کشمش های آفتایی، طلایی و تیزابی با بکارگیری ایزوترم جذب رطوبت و نمودار حالت

مریم اسمعیلی بازارده^۱- محسن اسمعیلی^{۲*}- علی حسن زاده^۳

تاریخ دریافت: ۱۳۹۰/۱۱/۲

تاریخ پذیرش: ۱۳۹۱/۷/۲۹

چکیده

ایزوترم جذب رطوبت و نمودار حالت سه نوع کشمش آفتایی، تیزابی و طلایی تهیه شد تا پایداری این محصولات ارزیابی و مقایسه گردد. ایزوترم ها در دماهای ۱۵°C، ۲۵°C و ۳۵°C با بکارگیری روش ایزوپیستیک تعیین و با مدل گب برآش گردید. دماهای گذار شیشه ای محصولات بوسیله گرماسنجی افتراقی (DSC) تعیین و با مدل گوردون تیلور برآش شد. داده های ایزوترم جذب مشخص کرد که در تمامی دماهای مورد بررسی، بیشترین مقدار جذب آب و مقدار رطوبت تک لایه در کشمش تیزابی و کمترین آنها در نمونه کشمش آفتایی وجود دارد. از روی نمودار حالت و رابطه ای بین دمای گذار شیشه ای، فعالیت آبی و رطوبت تعادلی، مقادیر فعالیت آبی بحرانی (CWA) و مقدار رطوبت بحرانی (CWC) هریک از محصولات تعیین شد. بر اساس نمودار حالت، CWC (بر اساس وزن خشک) کمتر از ۰/۰۵ و مقدار CWA کشمش ها کمتر از ۰/۰ براورد گردید.

واژه های کلیدی: کشمش، پایداری، ایزوترم جذب، دمای گذار شیشه ای، نمودار حالت

مقدمه

می تواند از نظر قابلیت ماندگاری تفاوت قابل توجهی با هم داشته باشدند. در تمامی این محصولات طی ذخیره سازی طولانی مدت کریستال های سفید مایل به زردی در داخل یا سطح محصول ظاهر شده و بافت سفت و دانه دار ناشی از این کریستال ها (شکرک) موجب نامطلوب شدن کیفیت ظاهری و خوراکی محصول می گردد (Bolin, 1980; Christensen *et al.*, 2000) که کشمش ها از نظر میکروبی پایدار در نظر گرفته می شوند (a_w<0.6) شکرک زدگی به صورت قابل توجهی رخ می دهد و بنابراین نمیتوان تنها با معیار فعالیت آبی (a_w)، پایداری کشمش ها را ارزیابی نمود.

مطالعات انجام شده حاکی از آن است که برخی از واکنش ها یی که مکانیزم کنترل کننده آنها دیفوژیون است (از جمله کریستالیزاسیون) می توانند در اثر نرم کنندگی^۱ آب و کاهش دمای گذار شیشه ای (T_g) به زیر دمای ذخیره سازی اتفاق بیافتدن (Roos, 1991&1995; Slade Levine, 1991). دمای گذار شیشه ای، دمایی در کم رطوبت مشخص است که در آن گذار از حالت آمورف شیشه ای،

خشک کردن انگور منجر به تولید محصولی قابل استفاده در تمام فضول با خصوصیات ارگانولپتیک دلپذیر برای مصرف کننده می شود. در هنگام خشک کردن، واکس اپی کوتیکولی موجود در پوسته انگور به عنوان مانعی در مقابل خروج رطوبت عمل می کند. جهت تسریع خشک کردن باید این لایه از پوست میوه با دقت خاصی حذف شود یا تغییر ساختاری یابد (Christensen *et al.*, 2000). بدین منظور اغلب از مخلوط هیدروکسید سدیم یا کربنات پتاسیم (K₂CO₃) با اتیل استرهای اسید های چرب (ممولا اتیل اولئات) عنوان یک امولسیون قلیایی استفاده می شود (Pangavhane *et al.*, 1999).

بسته به واریته انگور، شرایط آماده سازی و فرآیند خشک کردن، کشمش هایی با طعم، رنگ و قابلیت ماندگاری متفاوت تولید می شود (Esmaiili *et al.*, 2007). در ایران سه نوع محصول آفتایی، تیزابی و طلایی از انواع رایج کشمش می باشد که بدلیل تغییرات ساختاری

۱ و ۲- به ترتیب دانش آموخته کارشناسی ارشد و استادیار گروه علوم و صنایع

غذایی، دانشکده کشاورزی، دانشگاه ارومیه
(Email: esmaiilim@yahoo.ie) - نویسنده مسئول :

۳- دانشیار مرکز نانویکنولوژی و گروه شیمی، دانشگاه ارومیه

نوع محصول معرفی شده است.

مواد و روش ها

سه نوع کشمش آفتابی، طلایی و تیزابی از یک باغدار در شهرستان بناب آذربایجان شرقی خردباری گردید و تا زمان مصرف در یخچال نگهداری شد. ۹ محلول فوق اشباع نمکی با حجم ۲۵۰ میلی لیتر در ظروف شیشه ای یک لیتری تهیه شد. معادلات رگرسیون و فعالیت آبی محلول های اشباع نمکی مطابق با جدول ۱ می باشد (Sablani *et al.*, 2001).

اندازه گیری خصوصیات جذب رطوبت مطابق روش ایزوپیستیک^۱ ایزوپیستیک^۱ در دو تکرار انجام شد (Sablani *et al.*, 2001). نمونه های کشمش پس از دم گیری به قطعات حداقل ۲ میلیمتری برش داده شدند. یک گرم از هر نمونه در کیسه های نایلونی (توزین شده) با قابلیت در بندی ریخته شد. کیسه باز محتوی نمونه بر روی سه پایه ی شیشه ای قرار داده شد بطوریکه نمونه در فضای بالای محلول اشباع قرار گرفت. به منظور جلوگیری از فساد میکروبی نمونه ها در فعالیت آبی های بالای ۷/۰، یک لوله آزمایش حاوی کمی تولوئن در ظرف آزمایش گذاشته شد. شیشه ها پس از در بندی غیر قابل نفوذ به هوا، به مدت حداقل ۳ هفتگه در انکوباتور (Heraeus, ۳۵، ۲۵، ۱۵ ± ۱ °C (UT 5050 E, W. Germany) با دمای ۰/۰۰۰۱ (AS200, USA) با دقت ۰/۰۰۰۱ توزین شدند. برای به حداقل رساندن تاثیر رطوبت محیط بر نمونه ها، درب کیسه های حاوی نمونه بلafasله بعد از خروج از شیشه بسته شد و در کمترین زمان ممکن توزین صورت گرفت. توزین نمونه ها در فواصل زمانی ۳ روز تکرار شد. رطوبت تعادلی هنگامی بدست آمد که اختلاف وزن دو توزین متولی هر نمونه، کمتر از دقت ترازو بود. درصد رطوبت نمونه ها در آون خلا با دمای ۷۰ درجه و در مدت ۶ ساعت تعیین گردید (استاندارد ملی ایران، شماره ۶۷۲). رطوبت تعادلی (M_e) بر اساس وزن خشک (گرم ماده خشک/گرم آب) (معادله ۱) بدست آمد:

$$M_e = \frac{m_w}{m_s} \quad (1)$$

که m_w مقدار رطوبت نمونه و m_s مقدار ماده خشک نمونه بر حسب گرم می باشند.

شکننده و پایدار به حالت آمورف ویسکوز و لاستیکی رخ می دهد (Labuza *et al.*, 2004).

معمولا در دمای گذار شیشه ای، تغییر قابل توجهی در حرکت موضعی زنجیره های پلیمری بوجود می آید و ظرفیت گرمایی (C_p)، ضریب انبساط حرارتی (α) و ضریب دی الکترویک (ϵ) افزایش می یابد (Roos, 1995). زمانی که دما بالای T_g می رسد با کاهش ویسکوزیته و افزایش حجم آزاد، واکنشگرها راحت تر می توانند انتشار یافته و در کریستالیزاسیون و سایر واکنش های تخریبی شرکت کنند (Labuza *et al.*, 2004).

گذار شیشه ای و فعالیت آبی پارامترهای مستقلی هستند، در عین حال مشخص شده این دو مفهوم در ارزیابی پایداری برخی مواد غذایی مکمل یکدیگر بوده و می توانند مقدار بحرانی آب در حین فرایند و ذخیره سازی مواد غذایی را تعیین کنند (Roos, 2008). در نتیجه نرم کنندگی آب نیز، حجم آزاد ماده و حرکت ملکولی افزایش کافته و با افزایش مقدار آب، گذار شیشه ای در دماهای پا بین تر رخ می دهد (Roos, 1995).

رابطه بین دمای گذار شیشه ای، فعالیت آبی و محتوی رطوبت ماده غذایی با استفاده از نمودار حالت^۲ تعیین می شود. در نمودار حالت اصلاح شده برای مواد غذایی کم رطوبت، ایزووترم جذب رطوبت و خط^۳ دمای گذار شیشه ای تلفیق می شوند تا مقدار فعالیت آبی بحرانی

(CWA) و مقدار رطوبت بحرانی^۴ (CWC) برای پایداری ماده غذایی تعیین گردد (Roos, 1993). بر اساس CWA و CWC اطلاعات مستقیمی درباره بیشترین فشار بخار نسبی (RVP)^۵ مجاز برای ذخیره سازی سیستم های غذایی آمورف یا جزئی آمورف بدست می آید. این مقادیر نشان می دهند که اگر در یک دمای ذخیره سازی ثابت RVP از مقادیر بحرانی تجاوز کند ممکن است در اثر جذب آب، مقدار آب

ماده به میزانی افزایش یابد که دمای گذار شیشه ای به زیر دمای محیط کاهش پیدا کند (Roos, 2008). بالای دمای گذار شیشه ای، مقدار کمی افزایش در دما یا میزان آب، می تواند زمان های رهایی

در ماده غذایی را بطور اساسی، یعنی از سال ها به ثانیه ها کاهش داده و در این شرایط افزایش قابل توجه سرعت واکنش های تخریبی موجب از دست رفتن سریع کیفیت غذا گردد (Roos, 1993). با در نظر گرفتن مشکلات شکرک زدگی در واحدهای فرآوری و بسته بندی کشمش و ضرورت تعیین روابط رطوبت های تعادلی با دمای گذار شیشه ای در این سه نوع کشمش تجاری مهم کشور، که تاکنون بررسی نشده است، در این پژوهش نمودارهای حالت برای این سه

1- State diagram

2- Critical water activity

3- Critical water content

4- Relative vapor pressure

5- Relaxation

جدول ۱- معادلات رگرسیون و فعالیت آبی محلول‌های اشباع نمکی در دماهای ۱۵، ۲۵ و ۳۵ °C

فعالیت آبی			معادله رگرسیون	نمک
۱۵°C	۲۵°C	۳۵°C		
۰/۱۲۱	۰/۱۱۴	۰/۱۰۸	$\ln(a_w) = (500.95 \times 1/T) - 3.85$	کلرید لیتیوم
۰/۲۶۲	۰/۲۳۷	۰/۲۱۶	$\ln(a_w) = (861.39 \times 1/T) - 4.33$	استات پتانسیم
۰/۳۴	۰/۳۲۸	۰/۳۱۸	$\ln(a_w) = (303.35 \times 1/T) - 2.13$	کلرید منیزیم
۰/۴۵	۰/۴۴۳	۰/۴۳۶	$\ln(a_w) = (145.00 \times 1/T) - 1.30$	کربنات پتانسیم
۰/۵۵۸	۰/۵۳۶	۰/۵۱۶	$\ln(a_w) = (356.60 \times 1/T) - 1.82$	نیترات منیزیم
۰/۶۹۳	۰/۶۵۹	۰/۶۲۸	$\ln(a_w) = (435.96 \times 1/T) - 1.88$	نیترات سدیم
۰/۷۸۲	۰/۷۶۲	۰/۷۴۳	$\ln(a_w) = (228.92 \times 1/T) - 1.04$	کلرید سدیم
۰/۸۹۲	۰/۸۵۵	۰/۸۲۱	$\ln(a_w) = (367.58 \times 1/T) - 1.39$	کلرید پتانسیم
۰/۹۱۳	۰/۹۰۳	۰/۸۹۴	$\ln(a_w) = (93.23 \times 1/T) - 0.415$	کلرید باریم

محیطی از قبیل دما و همچنین ساختار و ترکیب شیمیایی هر غذا متفاوت است (Rahman, 2010).

تعیین دمای گذار شیشه‌ای

برای تعیین دمای گذار شیشه‌ای کشمش حدود ۵۰-۱۵ میلی گرم نمونه به تعادل رسیده در دمای ۲۵ درجه و در محدوده فعالیت آبی ۰/۱ تا ۰/۷ در کروزه آلومینیومی 1 ml ۴۰-۱۰ توزین شد. پس از دربندی غیر قابل نفوذ کروزه سوراخی در درپوش آن ایجاد گردید و نمونه به همراه یک کروزه خالی به عنوان مرجع، در دستگاه DSC (DSC823° Mettler Toledo Stare System, USA) قرار داده شد. شدت سرمایش/گرمایش در محدوده دمای $^{\circ}\text{C}$ ۸۰-۱۰۰ تا $^{\circ}\text{C}/\text{min}$ ۱۰ تنظیم گردید. دماهای گذار شیشه‌ای از روی یک کاهش پلکانی در خط پایه، که دلالت بر تغییر در ظرفیت گرمایی ماده دارد مشخص شد.

مدل سازی دمای گذار شیشه‌ای

به منظور بررسی نرم کنندگی آب در کشمش، دمای گذار شیشه‌ای ماده خشک (T_{gs}) با استفاده از مدل گوردون تیلور^۱ که از متداول ترین مدل‌های مورد استفاده برای مواد غذایی با قند بالا است (Gordon et al., 1952)، محاسبه شد:

$$T_g = \frac{T_{gs} X_s + k T_{gw} X_w}{X_s + k X_w} \quad (۷)$$

که در آن T_{gs} دمای گذار شیشه‌ای ماده خشک ($^{\circ}\text{C}$), X_s کسر

1- Differential Scanning Calorimeter

2- Scan rate

3- Gordon and Taylor

مدل سازی همدمای

در میان مدل‌های ارائه شده برای همدمای جذب کشمش مدل گب^۲ (Van den Berg et al., 1981) که از پذیرفته شده ترین مدل‌ها برای مواد غذایی می‌باشد (Esmaili et al., 2007) انتخاب شد (معادله ۲):

$$\frac{M_e}{M_m} = \frac{CKa_w}{(1 - Ka_w)(1 - Ka_w + CKa_w)} \quad (۲)$$

که رطوبت تک لایه بر اساس وزن خشک (گرم ماده خشک/گرم آب) می‌باشد. ثابت‌های مدل گب (C, M_m, K) با تعییر شکل این مدل به فرم چند جمله‌ای درجه دو محاسبه شد (معادله ۳). α, β و γ ضرایب معادله ۳ هستند.

$$\frac{a_w}{M_e} = \alpha(a_w)^2 + \beta a_w + \gamma \quad (۳)$$

$$C = \frac{\beta - (\frac{1}{M_m})}{-2\gamma} \quad (۴)$$

$$K = \frac{1}{M_m C \gamma} \quad (۵)$$

$$M_m = \sqrt{\frac{-1}{(4\alpha\gamma - \beta^2)}} \quad (۶)$$

رطوبت تک لایه (M_m) به عنوان رطوبت اینم برای ذخیره سازی مواد غذایی در نظر گرفته می‌شود و این مقدار با توجه به شرایط

1- Guggenheim–Andersen–de Boer (GAB)

از دماهای کمتر می گردد. از آنجا که حل شدن قندها یک فرایند گرمگیر است با افزایش دما حلالیت قندها بیشتر شده و محصول می تواند در دماهای بالاتر، آب بیشتری را نگه دارد. در بسیاری از تحقیقات انجام شده در مورد کشمش نتایج مشابهی گزارش شده است (Ayrancı *et al.*, 1990; Saravacos *et al.*, 1986; Tsami *et al.*, 1990, Boquet *et al.*, 1978).

بر اساس تحقیقات انجام شده توسط Christensen و همکاران (۲۰۰۰) واکس اپی کوتیکولی انگور از پرک هایی پهن با ساختار بی قاعده تشکیل شده که نسبتاً هم پوشانی می کنند. اسیدهای چرب به کار رفته در عمل آوری موجب آماس کردن لایه های واکسی شده و در نتیجه آنها را به کنار می رانند. در این حالت موقعیت قرار گرفتن صفحات موئی سطح انگور از وضع انباشته بر روی یکدیگر تغییر می کند و با ایجاد مسیری برای عبور رطوبت، خروج آب از درون جبه تسهیل می شود. پناس به کار رفته در محلول قلیایی نیز اسیدهای آزاد درون یا روی پوست را خنثی کرده و آنها را به نمک های پتانسیم تبدیل می کنند. خنثی شدن بارها بوسیله یون پتانسیم به جذب بیشتر آب در جبه کمک می کند.

جدول ۳ مقادیر پارامترهای مدل گب را در دماهای مورد بررسی برای هرسه نوع کشمش تیزابی، طلایی و آفتانی نشان می دهد. مقایسه ایزوترم جذب رطوبت سه نوع کشمش نیز تصدیق کننده تاثیر شرایط عمل آوری و خشک کردن بر خصوصیات جذب هر یک از محصولات مورد مطالعه است. چنانچه به ترتیب در جداول ۲ و ۳ ملاحظه می شود در تمامی دماهای آزمایشی، جذب رطوبت و مقادیر رطوبت تک لایه- که معیاری برای مقایسه پایداری مواد غذایی خشک شده محسوب می شوند- در نمونه تیزابی بالاترین و در آفتانی پایین ترین می باشد.

همانطور که در جدول ۳ دیده می شود مدل گب در تمام محدوده دماها و فعالیت آبی های مورد آزمایش، انطباق مناسبی با داده های تجربی دارد. همچنین در تمامی نمونه های بررسی شده با افزایش فعالیت آبی مقدار رطوبت تعادلی افزایش می یابد. از آنجا که در فعالیت های آبی پایین قندها در حالت کریستاله هستند، آب تنها می تواند جذب گروه های هیدروکسیل واقع در سطح کریستال قند شود. در فعالیت آبی $45/0$ تا $7/0$ به تدریج قندها به فرم آمورف تبدیل شده و با افزایش موقعیت های جذب آب در قند، شیب منحنی جذب سریعاً افزایش می یابد (Chinachoti *et al.*, 1984).

دمای گذار شیشه ای

با استفاده از دستگاه DSC، ترموگرام نمونه های به تعادل رسیده در دمای 25°C ، در فعالیت های آبی محدوده $114/0$ تا $762/0$ در فاصله دمایی 80°C - 100°C بدست آمد. مدل گوردن تیلور برای پیش بینی دماهای گذار شیشه ای در فعالیت آبی های مختلف به کار

جرمی ماده خشک، T_{gw} دمای گذار شیشه ای آب (X_w)، C°) کسر جرمی آب و k ثابت معادله است. در معادله ۷ از دمای 135°C - به عنوان T_{gw} و از دمای میانگین گذار شیشه ای (T_{gm}) بعنوان T_g آزمایشات استفاده شد. پارامترهای مدل (T_{gs} و k) با استفاده از آنالیز رگرسیون غیر خطی محاسبه شدند. بدین منظور از نرم افزار آماری استatissoft نسخه شماره ۶ استفاده شد. مناسب بودن مدل های بکار رفته در برآش داده های تجربی با محاسبه درصد میانگین خطای نسبی ($P\%$) (معادله ۸) ارزیابی گردید. در صورتی که $P\%$ کمتر از ۱۰ باشد مدل برای برآش داده های تجربی مناسب خواهد بود (Boquet *et al.*, 1978).

$$P\% = \frac{100}{N} \sum_{i=1}^N \frac{|Y_{\text{exp}} - Y_{\text{pre}}|}{Y_{\text{exp}}} \quad (8)$$

Y_{exp} نماد داده های محاسباتی و Y_{pre} نماد داده های آزمایشگاهی است.

نمودار حالت

در این نمودار داده های رطوبت تعادلی (برآش شده با مدل گب) و داده های دمای گذار شیشه ای (برآش شده با مدل گوردن تیلور) در رطوبت های مختلف تلفیق شد. جهت تعیین مقادیر بحرانی یک خط افقی از دمای محیط (25°C) تا خط دمای گذار شیشه ای امتداد داده شد. از نقطه برخورد این خط با خط دمای گذار شیشه ای، خط عمودی به محور افقی (فعالیت آبی)رسم گردید این خط، همدمای جذب رطوبت را در یک نقطه قطع نمود. فعالیت آبی و رطوبت تعادلی متناظر با این نقطه تقاطع، بحرانی در نظر گرفته شدند.

نتیجه و بحث

ایزووترم جذب رطوبت

مقادیر رطوبت تعادلی سه نوع کشمش مطالعه شده در جدول ۲ مشاهده می شود. همانطوری که در این جدول دیده می شود دمای به تعادل رسیدن نمونه ها بر خصوصیات جذب رطوبت آنها مؤثر است. در هر سه محصول در محدوده فعالیت آبی $1/0$ تا $45/0$ با افزایش دما، مقدار رطوبت تعادلی کاهش می یابد؛ بدین ترتیب کمترین میزان جذب رطوبت در 35°C و بیشترین این مقدار در 15°C ملاحظه می گردد (جدول ۲). در محصولات دارای قند کم، در فعالیت آبی های بالاتر هم این روند به همین صورت ادامه می یابد؛ اما در کشمش پس از یک فعالیت آبی مشخص (حدود $65/0$) پدیده وارونگی مشاهده می شود، یعنی در یک a_w یکسان، جذب آب در دماهای بالاتر بیشتر

رفت. داده‌های دمای گذار شیشه‌ای در مقابل فعالیت آبی در جدول ۴ ارائه شده است.

جدول ۲- میانگین رطوبت تعادلی تجربی کشمش‌های تیزابی، طلایی و آفتابی در دماهای ۱۵، ۲۵ و ۳۵ °C

نمک	رطوبت تعادلی در دمای ۱۵ °C			رطوبت تعادلی در دمای ۲۵ °C			رطوبت تعادلی در دمای ۳۵ °C		
	تیزابی	طلایی	آفتابی	تیزابی	طلایی	آفتابی	تیزابی	طلایی	آفتابی
کلرید لینیوم	-۰.۳۹۹۴	-۰.۵۹۷۶	-۰.۷۷۲۸	-۰.۳۱۳۲	-۰.۰۵۸۱۸	-۰.۰۶۴۰۵	-۰.۳۷۶۴	-۰.۰۵۰۳۳	-۰.۲۱۹۷
استات پتاسیم	-۰.۰۶۳۲۱	-۰.۰۹۳۴	-۰.۱۰۹۲۳	-۰.۰۵۱۰۸	-۰.۰۸۱۹۶	-۰.۰۹۲۲۶	-۰.۰۵۶۳۷	-۰.۰۵۹۳۴	-۰.۳۶۳۷
کلرید منیزیم	-۰.۰۷۴۸۲	-۰.۱۰۱۴	-۰.۱۲۵۶۶	-۰.۰۶۱۲۵	-۰.۰۹۷۲۶	-۰.۱۰۴۱	-۰.۰۴۸۵	-۰.۰۷۹۵۳	-۰.۹۳۹۱
کربنات پتاسیم	-۰.۰۸۷۲۱	-۰.۱۲۵۳	-۰.۱۵۱۵۴	-۰.۰۷۷۷۷	-۰.۱۱۷۹۶	-۰.۱۳۴۳۵	-۰.۰۵۷۷۴	-۰.۱۰۵۴	-۰.۱۲۴۸۴
نیترات منیزیم	-۰.۱۰۵۷۳	-۰.۱۵۰۹۵	-۰.۱۸۵۴۴	-۰.۰۹۶۵۱	-۰.۱۴۳۱۴	-۰.۱۶۸۰۴	-۰.۰۸۵۸۷	-۰.۱۳۴۷۸	-۰.۱۵۴۲۷
نیتریت سدیم	-۰.۱۴۵۹۳	-۰.۲۰۳۹	-۰.۲۵۴۸۱	-۰.۱۳۸۴	-۰.۱۹۹۶۳	-۰.۲۲۳۳۵	-۰.۱۲۸۹۴	-۰.۱۸۱۷۲	-۰.۲۰۲۴۱
کلرید سدیم	-۰.۲۶۱۳۲	-۰.۳۳۰۷۹	-۰.۴۵۰۵۸	-۰.۱۹۵۵۱	-۰.۲۷۱۳۴	-۰.۳۳۳۲	-۰.۱۹۱۱	-۰.۲۸۰۰۴	-۰.۲۲۱۸۲
کلرید پتاسیم	-۰.۳۴۹۶۴	-۰.۴۱۷۲۳	-۰.۴۵۰۵۸	-۰.۳۴۵۰۴	-۰.۴۰۲۴۲	-۰.۵۰۵۱۴	-۰.۳۲۹۵	-۰.۳۹۶۹	-۰.۵۳۴۶
کلرید باریم	-۰.۴۸۱۶۵	-۰.۵۵۹۱۴	-۰.۵۵۹۱۴	-۰.۴۷۷۴۶	-۰.۵۸۵۷۵	-۰.۷۲۹۳۳	-۰.۵۴۶۷۱	-۰.۶۹۹۸۷	-۰.۸۹۳۲۴

جدول ۳- پارامترهای مدل گب و نتایج حاصل از مقایسه داده‌های تجربی و مقادی بیشینه شده با این مدل برای کشمش‌های تیزابی، طلایی و آفتابی به تعادل رسیده در دماهای ۱۵، ۲۵ و ۳۵ °C

R ²	%P	M _m (گرم ماده خشک/گرم آب)	C	K	دما (°C)	محصول
۰.۹۹۳۴	۱/۹۱	-۰.۰۹۸	۱۸/۷۸	-۰/۸۹۸	۱۵	تیزابی
	۱/۸۴۶	-۰/۰۸۲	۱۷/۹۸	-۰/۹۸۶	۲۵	
	۳/۲۳	-۰/۰۷۶	۱۰/۸۷	۱/۰۳۴	۳۵	
۰.۹۹۸۵	۲/۲۸	-۰/۰۷۸	۱۹/۹۴	-۰/۹۱۳	۱۵	طلایی
	۱/۵۱	-۰/۰۷۳	۲۰/۵۵	-۰/۹۶۷	۲۵	
	۱/۹۷	-۰/۰۷۱	۶/۹۴	۱/۰۰۹	۳۵	
۰.۹۹۹۱	۳/۰۳۱	-۰/۰۵۴	۱۸	-۰/۹۴۵	۱۵	آفتابی
	۲/۱۰۹	-۰/۰۴۹	۱۰/۷۳	-۰/۹۹۸	۲۵	
	۴/۶۱۱	-۰/۰۴۶	۵/۴۹	۱/۰۴	۳۵	

جدول ۴- مقادیر شروع و میانه T_g تجربی در کشمش تیزابی، طلایی و آفتابی به تعادل رسیده در فعالیت‌های آبی مختلف در ۲۵ °C

محصول	فعالیت آبی	T _g (°C)
تیزابی	-۰/۱۱۴	-۴/۹۷
	-۰/۲۳۷	-۹/۶۸
طلایی	-۰/۳۲۸	-۳/۲۸
	-۰/۴۴۳	-۳/۲۸۹
آفتابی	-۰/۵۳۶	-۴/۷۰
	-۰/۶۵۹	-۵/۰۹

$$\text{تیزابی: } T_g = -95.9557a_w + 16.045 \quad (R^2 = 0.933)$$

$$\text{طلایی: } T_g = -89.242a_w + 8.3479 \quad (R^2 = 0.933)$$

$$\text{آفتابی: } T_g = -91.558a_w + 13.064 \quad (R^2 = 0.9159)$$

آنالیز واریانس در سطح اطمینان ۹۵ درصد دماهای گذار شیشه‌ای سه نوع کشمش، اختلاف معنی داری بین T_g این محصولات

با توجه به جدول ۴ به وضوح مشاهده می‌شود که با افزایش مقدار آب، دمای گذار شیشه‌ای کاهش می‌یابد.

اختلاف بین دماهای گذار شیشه‌ای در محدوده فعالیت آبی های مطالعه شده برای نمونه‌های کشمش، در حدود ۶۰ درجه سانتیگراد می‌باشد. معادلات خطی رابطه بین a_w و T_{gm} برای سه نوع کشمش مطالعه شده شده به شرح زیر حاصل شد:

ای با هم تلفیق می شوند (Roos, 1995). در این نمودار رابطه بین رطوبت تعادلی، دمای گذار شیشه ای و فعالت آبی تعیین می شود. مقدار آب بحرانی برای پایداری (CWC) مقدار رطوبتی در نظر گرفته می شود که دمای گذار شیشه ای را تا دمای محیط (25°C) کاهش دهد. فعالیت آبی متناظر با این مقدار آب بحرانی، به عنوان فعالیت آبی بحرانی (CWA) در نظر گرفته می شود. نمودار حالت هر سه نوع کشمش آفتانی، تیزابی و طلایی در شکل ۱ نشان داده شده است. بر اساس نمودار حالت رسم شده تمامی محصولات بررسی شده فعالیت آبی های کمتر از 0.05°C و در رطوبت تعادلی های کمتر از 0.03°C پایدار می باشند. (Bolin, 1980) نیز طی بررسی پایداری CWC کشمش بر اساس کمترین تغییرات در ایزوترم جذب، مقدار CWA و CWC برای به حداقل رساندن تغییرات حین ذخیره سازی این محصول را به ترتیب 0.03°C و 0.01°C تعیین نمود. در تعدادی دیگر از مواد غذایی دارای قند بالا از جمله گریپ فروت و توت فرنگی نیز مقدار بحرانی تعیین شده توسط نمودار حالت، کمتر از مقدار بدست آمده از مدل گب بود (Fabra et al., 2009; Moraga et al., 2004; Roos, 1993)

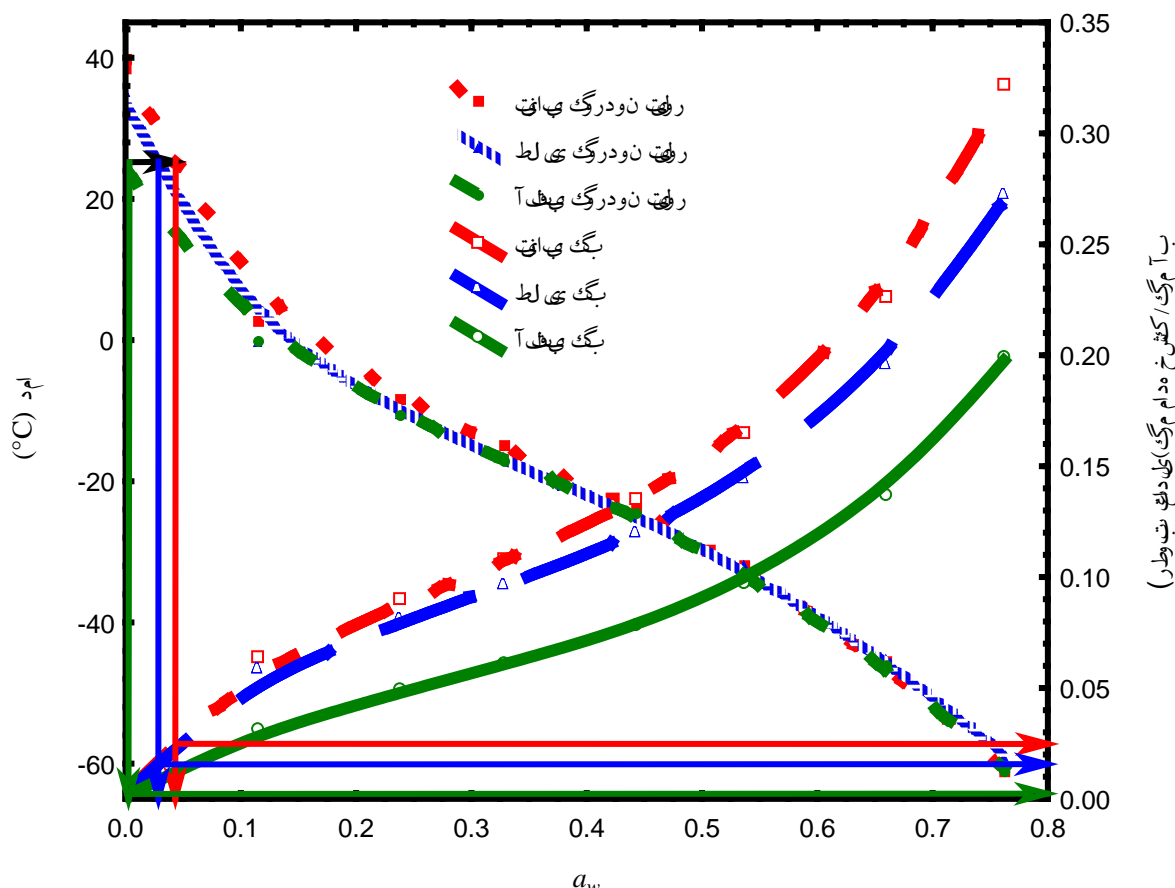
نشان نمی دهد. در جدول ۵ مقادیر پارامترهای مدل گوردون تیلور در پیش بینی دمای گذار شیشه ای هر سه نمونه کشمش نشان داده شده است. همانطوری که مشاهده می شود مدل گوردون تیلور بخوبی می تواند دمای گذار شیشه ای را در هر سه نمونه کشمش پیش بینی کند. مقادیر T_{gs} و k بدست آمده برای کشمش مشابه با داده های تمشک قرمز ($T_{gs} = 42/6$ و $k = 4/23$), کیوی ($T_{gs} = 40/8$ و $k = 4/23$), سیب ($T_{gs} = 41/3$ و $k = 3/59$) و بسیاری از میوه های دیگر بود (Syamaladevi et al., 2010).

جدول ۵- پارامترهای مدل گوردون تیلور و ارزیابی انطباق آن با داده های تجربی

%P	R^2	T_{gs} ($^{\circ}\text{C}$)	k	مدل
۱/۲۹۶۵	۰/۹۷۰۱	۴۰	۴/۲۳	تیزابی
۲/۱۸۹۰	۰/۹۱۵۵	۳۵/۶۸	۴/۵۷	طلایی
۱/۶۴۱۶	۰/۹۶۰۲	۲۵/۳۳	۵/۸۵	آفتانی

نمودار حالت

برای رسم نمودار حالت اصلاح شده و مناسب غذاهای کم رطوبت یا با رطوبت متوسط، ایزوترم جذب رطوبت و خط دمای گذار شیشه



شکل ۱- نمودار حالت کشمش‌های به تعادل رسیده در دمای ۲۵ در فعالیت آبی های ۱۱۴ تا ۷۶٪

نتایج مشاهده می‌گردد مقادیر بحرانی تعیین شده با استفاده از ایزوترم‌های جذب رطوبت و نمودار حالت یکسان نبوده و در عین حال هریک از این روش‌ها، بر اساس نوع پایداری مد نظر قابل بکارگیری می‌باشند. بنابراین پیشنهاد می‌گردد برای تعیین پایداری کشمش حین ذخیره سازی، ایزوترم جذب رطوبت و نمودار حالت توامًا با کارگرفته شوند.

نتیجه گئی

بررسی ایزوترم جذب رطوبت کشمش‌های آفتابی، طلابی و تیزابی بیانگر این مطلب بود که عمل آوری تاثیر قابل توجهی بر خصوصیات جذب رطوبت این محصولات دارد، در حالیکه نتایج بررسی دمای گذار شیشه‌ای نشان داد که T_g این محصولات عمدتاً تحت تاثیر مقدار رطوبت آنها بوده و نوع آماده سازی و شرایط خشک کردن انگور، تاثیری بر T_g محصول نهایی ندارد. بر اساس همین

منابع

- استاندارد ملی ایران، شماره ۶۷۲، اندازه گیری رطوبت خشکبار، چاپ پنجم.
- Ayrancı, E., Ayrancı, G. and Doganta, Z., 1990, Moisture sorption isotherm of dried apricot, fig and raisin at 20 °C and 36 °C. *Journal of Food Science*, 55, 1591–1597.
- Boquet, R., Chirife, J. and Iglesias, H. A., 1978, Equations for fitting water sorption isotherms of foods. II. Evaluation of various two-parameter models. *Journal of Food Technology*, 13, 319–327.
- Bolin, H. R., 1980, Relation of moisture to water activity in prunes and raisins. *Journal of Food Science*, 45, 1190–1192.
- Chinachoti, P. and Steinberg, M. P., 1984, Interaction of sucrose with starch during dehydration as shown by water sorption. *Journal of Food Science*, 49, 1604.
- Christensen, L. P. and Peacock W. L., 2000, Raisin production manual. ANR publications, Author Christensen, L. P. The Raisin Drying Process, California, 27, 215.
- Esmaili, M., Sotudeh-gharebagh R., Cronin K., Mousavi M. A. and rezazadeh G., 2007, Grape Drying: A Review. *Food Reviews International*, 23, 257–280.
- Fabra, M. J., Talens P., Moraga G. and Martínez-Navarrete N., 2009, Sorption isotherm and state diagram of grapefruit as a tool to improve product processing and stability. *Journal of Food Engineering*, 93, 52–58.
- Gordon, M. and Taylor J. S., 1952, Ideal copolymers and second-order transitions of synthetic rubbers. I. Non-crystalline copolymers. *Journal of Applied Chemistry*, 2 (9), 493–500.
- Labuza, T., Roe K., Payne C., Panda F., Labuza T. J., Labuza P. S. and Krusch L., 2004, Storage stability of dry food systems: Influence of changes during drying and storage. Proceedings of the 14th International Drying Symposium, A, 48–68.
- Moraga, G., Martínez-Navarrete N. and Chiralt A., 2004, Water sorption isotherms and glass transition in strawberries: influence of pretreatment. *Journal of Food Engineering*, 62, 315–321.
- Pangavhane, D. R., Sawhney R. L. and Sarsavadia P. N., 1999, Effect of various dipping pretreatment on drying kinetics of thompson seedless grapes. *Journal of Food Engineering*, 39, 211–216.
- Rahman, M. S., 2010, Food stability determination by macro–micro region concept in the state diagram and by defining a critical temperature. *Journal of Food Engineering*, 99 (4), 402–416.
- Roos, Y. H., 1993, Water activity and physical states effects on amorphous food stability. *Journal of Food Engineering*, 24 (3), 339–360.
- Roos, Y. H., 1995, Phase Transitions in Foods. Academic Press, San Diego, CA, 34, 37, 169, 301.
- Roos, Y. H., 2008, Water Activity and Glass Transition. Food Material Science, Pub: Springer New York, 3, 29–44.
- Sablani, S. S., Rahman M. S. and Labuza T. P., 2001, Measurement of water activity using isopiestic method, Current protocols in food analytical chemistry, Vol. 1, in: R. E. Wrolstad, Editor, John Wiley & Sons Inc, A2.3.1-A2.3.10.
- Saravacos, G. D., Tsiorvas D. A. and Tsami E., 1986, Effect of temperature on the water adsorption isotherms of sultana raisins. *Journal of Food Science*, 51, 381–387.
- Slade, L. and Levine H., 1991, Beyond water activity: Recent advances based on an alternative approach to the assessment of food quality and safety. *Critical reviews in Food Science and Nutrition*, 30 (2-3), 115–360.
- Syamaladevi, R. M., Sablani S. S., Tang J., Powers J and Swanson B. G., 2010, Water sorption and glass transition temperatures in red raspberry (*Rubus idaeus*). *Thermochimica Acta*, 503, 90–96.
- Tsami, E., Marinos-Kouris D. and Maroulis Z. B., 1990, Water sorption isotherms of raisins, currants, figs, prunes and apricots. *Journal of Food Science*, 55, 1594–1597.

Van den Berg C. and Bruin S., 1981, Water activity and its estimation in food systems: theoretical aspects. In: Rockland L. B., Stewart G. F., editors. New York: Academic Press, 1–61.